



PERÚ

Ministerio
de la Producción



BOLETÍN SEMANAL OCEANOGRÁFICO Y BIOLÓGICO-PESQUERO

Año 1, N°22

Semana 39: 23 – 29/09/ 2016

PRESENTACIÓN

El **Boletín Semanal Oceanográfico y Biológico Pesquero** es un producto de la Dirección General de Investigaciones Oceanográficas y Cambio Climático (DGIOCC) y de la Dirección de Investigaciones en Recursos Pelágicos (DGIRP) del Instituto del Mar del Perú (IMARPE).

Este producto presenta la evolución de variables físicas en la superficie del océano y atmósfera, así como de la estructura físico-química del océano frente a Paita -lugar referente del mar peruano para la vigilancia climática asociada a El Niño-Oscilación del Sur- con el fin de comprender los efectos de la variabilidad de corto plazo en las condiciones oceanográficas y biológico-pesqueras del mar peruano. Esta información se sustenta en las redes observacionales que administra el IMARPE y que se han fortalecido en el marco del Programa Presupuesto Por Resultados - PPR 068 El Niño “Reducción de Vulnerabilidad y Atención de Emergencias por Desastres” y su producto “Entidades Informadas en forma permanente y con pronósticos

frente al Fenómeno El Niño”.

Índices oceanográficos y pesqueros locales así como regionales y de macroescala y relevante información satelital de agencias como la Administración Nacional de Aeronáutica y del Espacio (NASA, según sus siglas en inglés) y de la Administración Nacional del Océano y la Atmósfera (NOAA, según sus siglas en inglés) de Estados Unidos, así como del Servicio de Monitoreo del Ambiente Marino Copernicus (CMEMS, según sus siglas en inglés), complementan las observaciones *in situ*.

El Boletín espera contribuir a mejorar el conocimiento del mar peruano, informar de forma oportuna y permanente a diferentes grupos de interés como gestores, tomadores de decisiones, planificadores, agricultores, emprendedores, pesqueros, científicos y sociedad en general, así como coadyuvar a la gestión del riesgo de desastres naturales del Estado Peruano.

Productos y Servicios Oceanográficos
LHFM/AFIOF/DGIOCC/IMARPE
Callao, 30 de setiembre de 2016

DIAGNÓSTICO SEMANAL DEL MAR PERUANO

La temperatura superficial del mar registró valores entre 27°C y 15°C. Esta semana fue notorio el repliegue de aguas de 20°C a 21°C, así como el repliegue de aguas de 18°C de la zona costera entre Paita y Callao, ampliando su cobertura en la zona sur de Perú (Figura 1a). Las condiciones halinas fueron similares a la semana anterior aunque con el desplazamiento leve de las Aguas Ecuatoriales Superficiales al norte del ecuador. Asimismo se notó una mayor amplitud de las Aguas de Mezcla (AM) mar adentro entre 4°S y 6°S asociadas con el repliegue de las isotermas de 20°C y 21°C, prevaleciendo aguas salinas (35,25) en la zona costera entre 11°S y 13°S (Figura 1b). El mar peruano registró condiciones térmicas de neutrales a levemente frías, exceptuando dos áreas en la zona norte y sur de Perú donde el calentamiento fue débil (Figura 2). Con respecto a la semana anterior, ocurrió calentamiento de débil a moderado por fuera de la zona centro y sur (Figura 3).

En la franja de 100 km adyacente a la costa entre el ecuador y 21°S, la velocidad del viento varió de 5 a 7 m/s predominando vientos de ~ 6 m/s en gran parte de la costa peruana. Las anomalías de la velocidad fueron cercanas a cero en casi toda la franja costera. Al norte de Paita, ocurrieron vientos del norte, de Paita hasta aproximadamente 20°S el viento fue del SSE y al Sur de 20°S se registraron vientos del SE. En cuanto al nivel medio del mar prevalecieron condiciones neutrales, mientras que al norte de Paita y al sur persistió calentamiento de hasta +2,5°C (Figura 4).

El monitoreo oceanográfico a 7 mn de Paita registró valores de 15°C a 16°C de 10 a 45 m, predominando AM en la columna de agua. Concentraciones de oxígeno de 2 y 3 ml/L caracterizaron la capa más superficial, registrándose la profundización de las isooxígenas de 1 y 0,5 ml/L acorde con la declinación de la isoterma de 15°C (Figura 5).

La evolución del proceso reproductivo de anchoveta analizada mediante el índice gonadosomático (IGS) a paso mensual (Figura 6) indicó un valor de 0.6451 para setiembre.

I. CONDICIONES FÍSICAS DE MACROESCALA Y REGIONAL

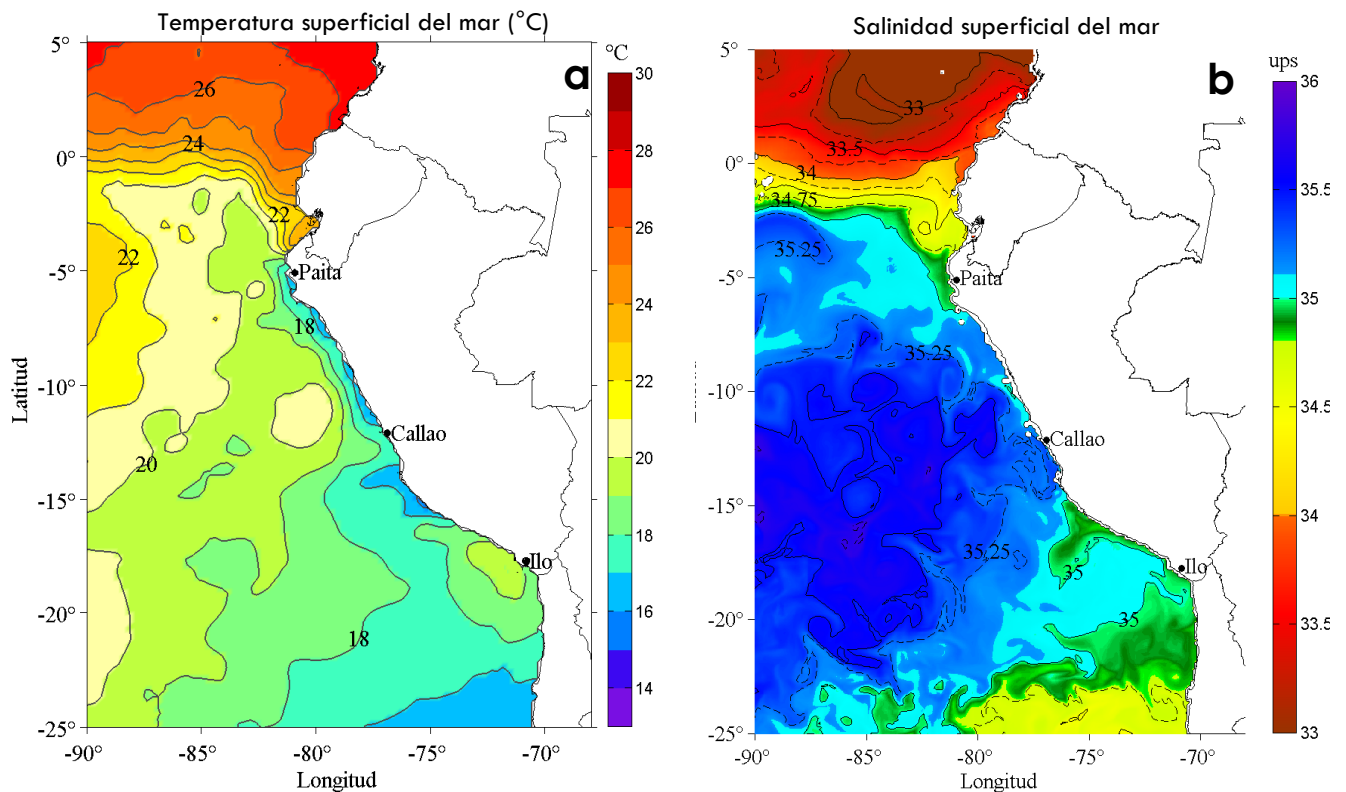


Figura 1. Distribución espacial promedio de: a) Temperatura Superficial del Mar (°C) y b) Salinidad Superficial del Mar, para la semana del 23 al 29 de setiembre de 2016 en el océano Pacífico tropical oriental. Datos: AVHRR v2 del Centro Nacional de Datos Climáticos de la Administración Nacional del Océano y la Atmósfera (NCDC/NOAA, según sus siglas en inglés) para (a) y del HYbrid Coordinate Ocean Model (HYCOM; Halliwell et al., 1998; 2000; Bleck, 2001) para (b). Las escalas de colores de la temperatura como de la salinidad superficial del mar se presentan a la derecha de cada gráfico. Procesamiento: LHFM/AFIOF/DGIOCC/IMARPE.

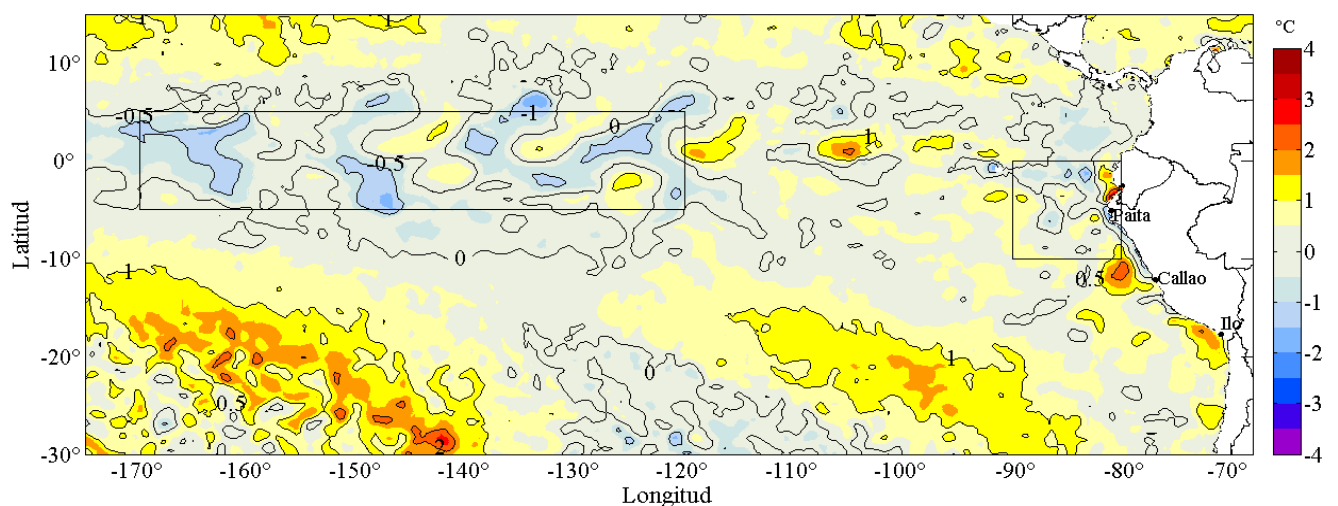


Figura 2. Anomalías promedio de la temperatura superficial del mar (°C) en el océano Pacífico tropical para la semana del 23 al 29 de setiembre de 2016. Las regiones Niño 3.4 y Niño 1+2 en los sectores central y oriental del océano, respectivamente, están delimitadas con una línea de color gris. Datos: AVHRR Global Reyn_SmithOiv2R (Reynolds, et al., 2007) de CMB/EMC/NCEP de la Administración Nacional del Océano y la Atmósfera (NOAA, según sus siglas en inglés). Las anomalías se calcularon con respecto de la climatología para el período 1982-2011. Procesamiento: IMARPE.

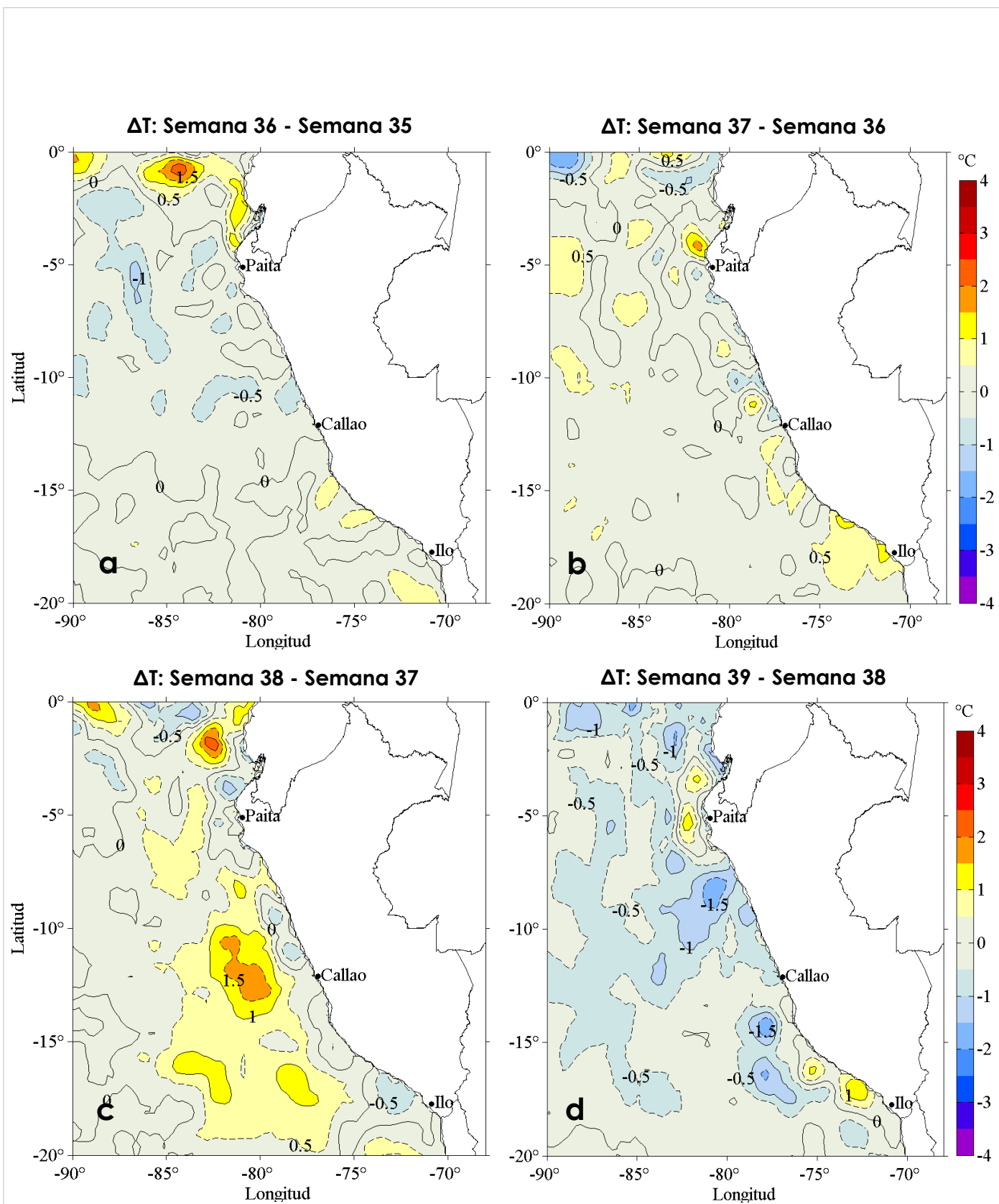


Figura 3. Variación semanal de la anomalía de la temperatura superficial del mar promedio (°C) en el océano Pacífico tropical oriental entre: a) la trigésimo sexta (02 - 08 de setiembre) y trigésima quinta (26 de agosto - 01 de setiembre) semana, b) la trigésimo séptima (09 - 15 de setiembre) y trigésima sexta (02 - 08 de setiembre) semana, c) la trigésimo octava (16 - 22 de setiembre) y trigésima séptima (09 - 15 de setiembre) semana, y d) la trigésimo novena (23 - 29 de setiembre) y trigésima octava (16 - 22 de setiembre) semana del presente año. Los mapas, que indican el grado de calentamiento o enfriamiento de una semana a otra, provienen del sensor AVHRR v2 del Centro Nacional de Datos Climáticos de la Administración Nacional del Océano y la Atmósfera (NCDC/NOAA, según sus siglas en inglés). Las anomalías térmicas se calcularon de acuerdo con la climatología para el período 1982-2011. La barra de colores de las anomalías térmicas se presenta a la derecha. Procesamiento: LHFM/AFIOF/DGIOCC/IMARPE.

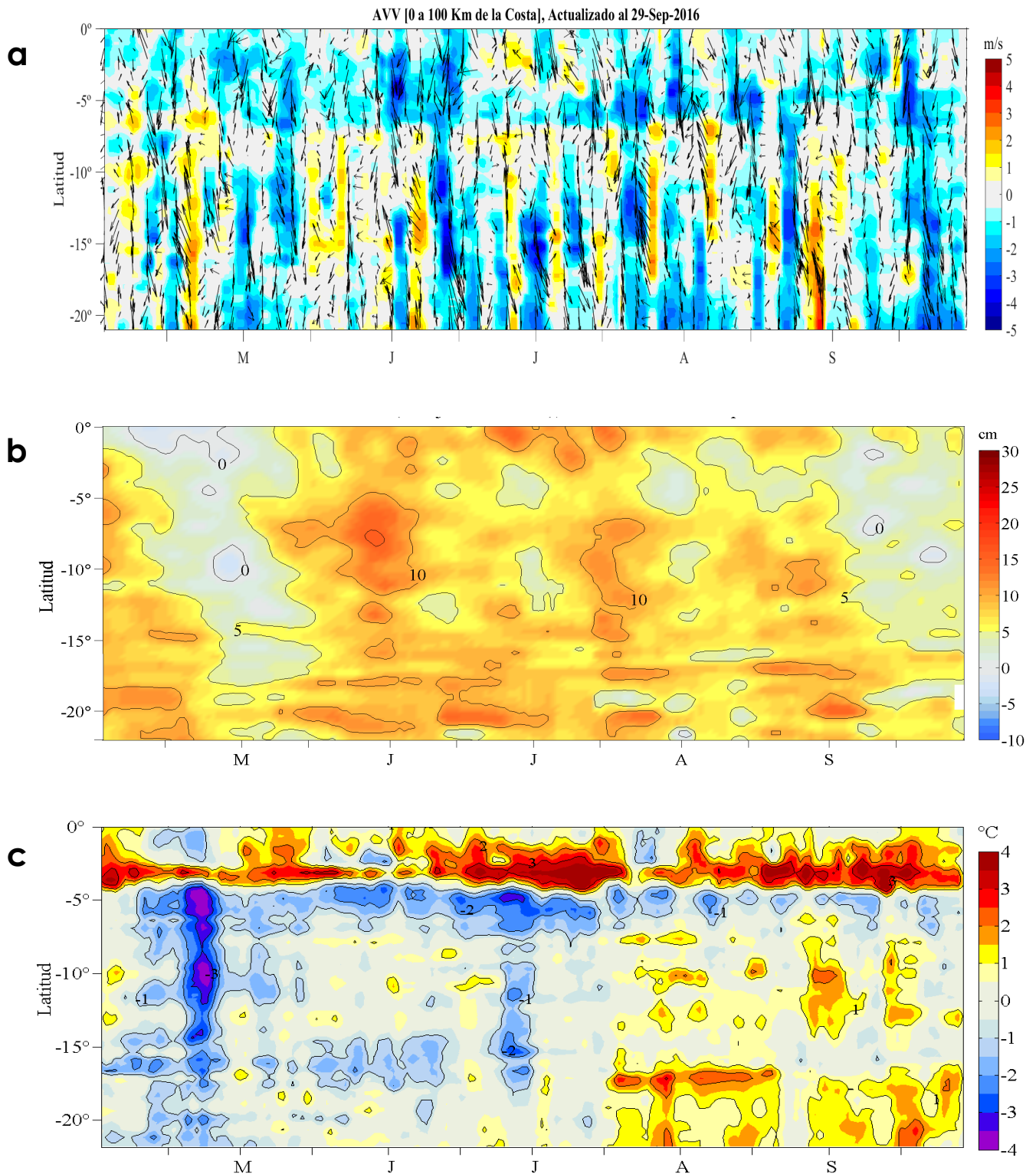


Figura 4. Evolución de las anomalías diarias de: a) velocidad del viento (m/s), b) nivel medio del mar (cm), c) temperatura superficial del mar (°C) para el último semestre actualizado al 29 de setiembre de 2016. Datos: de IFREMER/CERSAT para (a), del Servicio de Monitoreo del Ambiente Marino Copernicus (CMEMS, según sus siglas en inglés) para (b) del satélite AVHRR v2 del Centro Nacional de Datos Climáticos de la Administración Nacional del Océano y la Atmósfera (NCDC/NOAA, según sus siglas en inglés) para (c). Las anomalías fueron calculadas para una franja de 100 km adyacente a la costa entre el ecuador y 21°S según los promedios climatológicos diarios de 2000-2014 para (a), de 1993-2013 para (b) y de 1982-2011 para (c). La barra de colores a la derecha muestra la escala de las anomalías en cada caso. Procesamiento: LHF/AFIOF/DGIOCC/IMARPE.

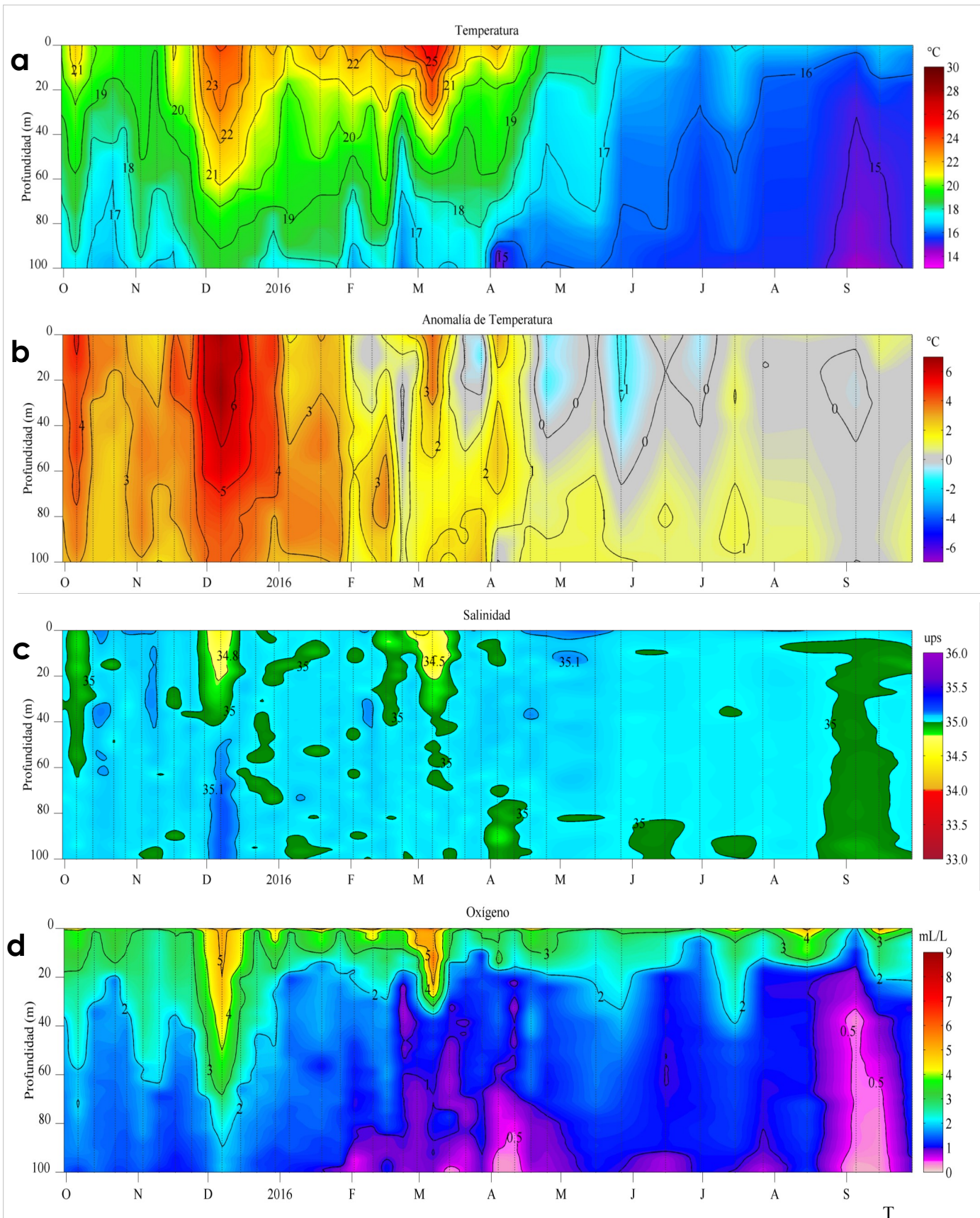


Figura 5. Evolución de: a) Temperatura del agua de mar (°C), b) Anomalías térmicas (°C), c) Salinidad del agua de mar, d) Contenido de Oxígeno disuelto (mL/L) para la estación fija Paíta, localizada a 7 mn de esta localidad, de setiembre de 2015 al 29 de setiembre de 2016. Las anomalías de la temperatura del agua (°C), salinidad y de oxígeno disuelto (mL/L) se calcularon en base al promedio climatológico de 1981-2010 de acuerdo a Anculle, *et al* (2015). Los puntos en la columna de agua indican los días en que se realizó la estación fija Paíta. Datos: Monterrey Bay Aquarium Research Institute (MBARI) para el periodo de 1982 a mayo de 2013, así como de IMARPE para el periodo de 2013 a setiembre de 2016. Procesamiento: LHFm/AFIOF/DGIOCC/IMARPE.

II. ÍNDICES CLIMÁTICOS Y BIOLÓGICO-PESQUEROS

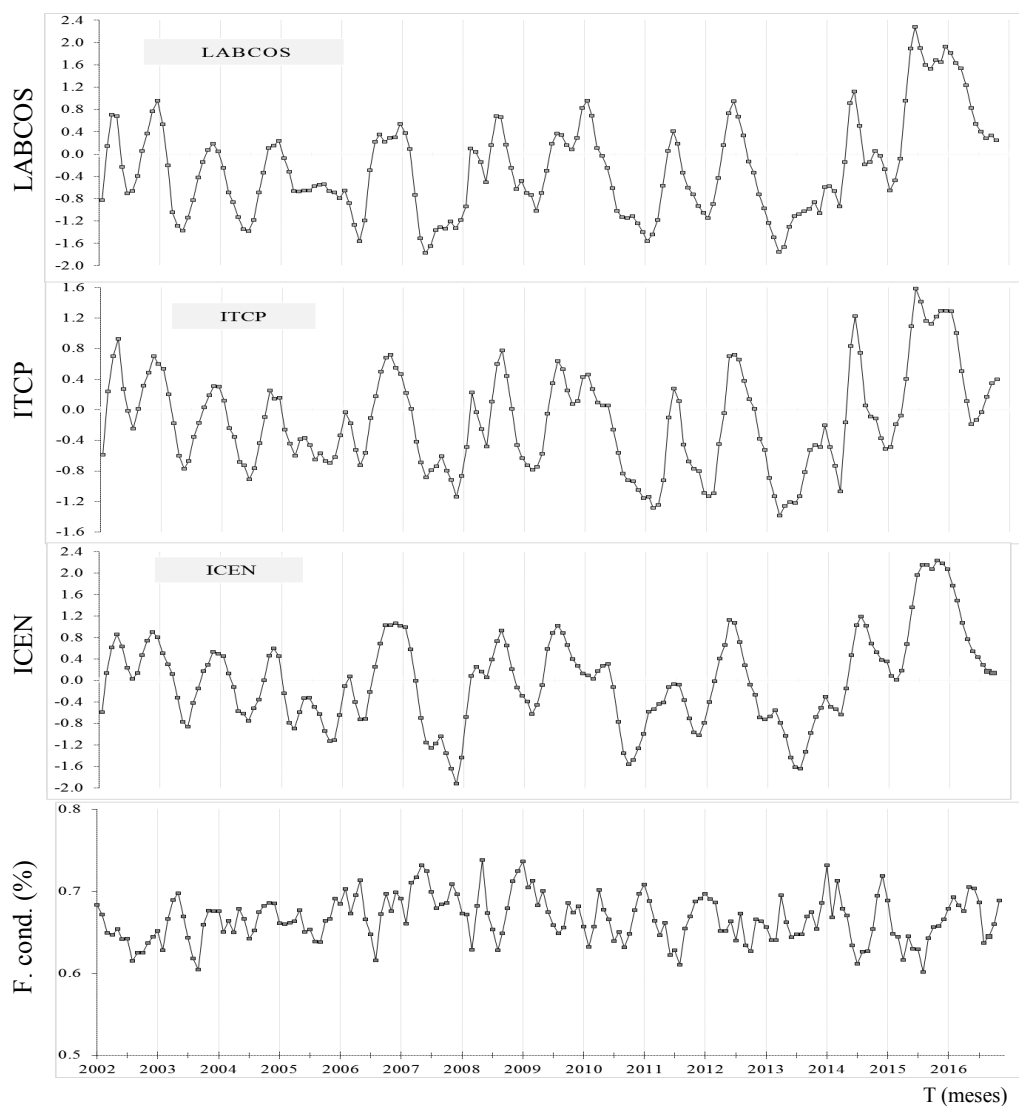


Figura 11. a) Series de tiempo de Índices climáticos y biológico-pesqueros: Índice LABCOS, Índice Térmico Costero Peruano (ITCP), Índice Costero El Niño (ICEN) y Factor de Condición (%) de la anchoveta en la región norte-centro para el período de enero de 2002 a octubre 2016. La metodología para estimar estos índices se encuentran en Quispe y Vásquez (2015), Takahashi, et al. (2014) y Perea et al (2015). Procesamiento: IMARPE.

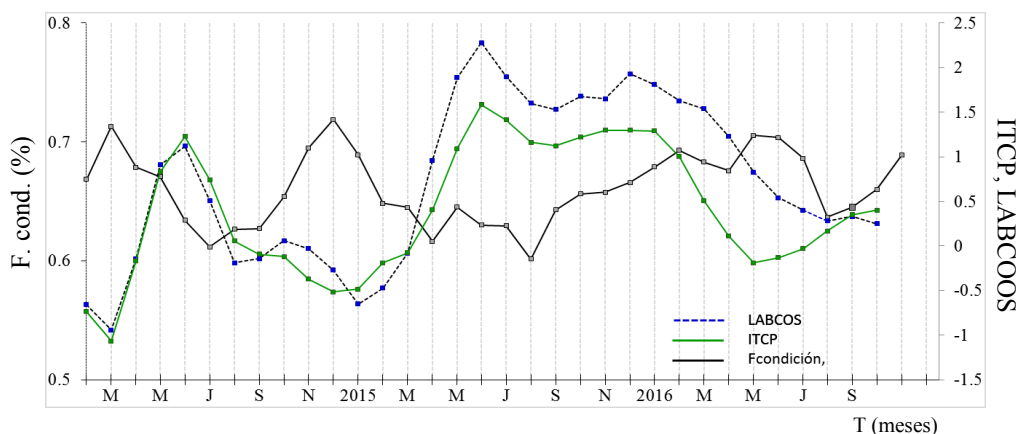


Figura 12. Series de tiempo del Índice LABCOS (línea punteada de color azul), del Índice Térmico Costero Peruano (ITCP, línea de color azul) y el Factor de Condición (% en color negro) para el período de febrero de 2014 a la fecha. La metodología para estimar estos índices se encuentran en Quispe y Vásquez (2015) para el LABCOS y Perea et al (2015) para el Factor de Condición. Procesamiento: IMARPE.

REFERENCIAS

Anculle, T., D. Gutiérrez, A. Chaigneau, F. Chávez, 2015. Anomalías del perfil vertical de temperatura del punto fijo Paita como indicador de la propagación de ondas Kelvin. En: Boletín Trimestral Oceanográfico, Volumen 1, Números 1-4, pp.: 8-10.

Ángel Perea, Betsy Buitrón, Julio Mori, Javier Sánchez, Cecilia Roque, 2015. Anomalías de los Índices reproductivos de anchoveta *Engraulis ringens* en relación al ambiente. En: Boletín Trimestral Oceanográfico, Volumen 1, Números 1-4, pp.: 27-28.

Bleck, R., 2002: An oceanic general circulation model framed in hybrid isopycnic-Cartesian coordinates. Ocean Modeling, 4, 55-88.

Takahashi, K, K. Mosquera y J.Reupo. El Índice Costero El Niño (ICEN): historia y actualización. Boletín Técnico - Vol. 1 Nro. 2, Febrero del 2014.

Halliwel, G. R., Jr., R. Bleck, and E. Chassignet, 1998: Atlantic Ocean simulations performed using a new hybrid-coordinate ocean model. EOS, Fall 1998 AGU Meeting.

Halliwel, G .R, R. Bleck, E. P. Chassignet, and L.T. Smith, 2000: mixed layer model validation in Atlantic Ocean simulations using the Hybrid Coordinate Ocean Model (HYCOM). EOS, 80, OS304.

Quispe, J. y L. Vásquez, 2015. Índice “LABCOS” para la caracterización de evento El Niño y La Niña frente a la costa del Perú, 1976-2015. En: Boletín Trimestral Oceanográfico, Volumen 1, Números 1-4, pp.: 14-18.

Reynolds, R. W., T. M. Smith, C. Liu, D. B. Chelton, K. S. Casey, and M. G. Schlax, 2007: Daily high-resolution-blended analyses for sea surface temperature. Journal of Climate, 20, 5473–5496, doi:10.1175/JCLI-D-14-00293.1.

RECONOCIMIENTOS

Los datos de temperatura superficial del mar de alta resolución fueron provistos por la NOAA/OAR/ESRL/PSD, Boulder, Colorado, Estados Unidos, de su sitio web <http://www.esrl.noaa.gov/psd/>. Los datos de vientos se colectaron de IFREMER/CERSAT. 2005. NSCAT Level 3 Gridded Mean Wind Fields (IFREMER). Ver. 1. PO.DAAC, CA USA. Data set accessed [YYY-MM-DD]. <ftp://ftp.ifremer.fr/ifremer/cersat/products/gridded/MWF/L3/ASCAT/Daily/>. Los productos de altimetría Ssalto/Duacs fueron producidos y distribuidos por Copernicus Marine and Environment Monitoring Service (<http://www.marine.copernicus.eu>).



El contenido del Boletín se puede reproducir citándolo así: Boletín Semanal Oceanográfico y Biológico-Pesquero [en línea]. Callao, Instituto del Mar del Perú. Año 1, N°22, 30 de setiembre de 2016. [http://www.imarpe.pe/imarpe/index.php?id_seccion=101780204000000000000000](http://www.imarpe.pe/imarpe/index.php?id_seccion=1017802040000000000000).

© 2016 Instituto del Mar del Perú.
Esquina Gamarra y General Valle, Chucuito, Callao - Perú.

Hecho el Depósito Legal en la Biblioteca Nacional del Perú N°2016-02931.

Consultas: Servicios y Productos Oceanográficos/AFIOF/DGIOCC/IMARPE.
Correo electrónico: lhf_m_productos@imarpe.gob.pe.
Teléfono: (51 1) 208 8650 (Extensión 828).

Suscripciones: Complete [este formulario](#).